

بررسی آزمایشگاهی آبشنستگی پیرامون ترکیب‌های مختلف آبشکن‌های سری نفوذناپذیر

شهاب نیر^۱، حجت کرمی^{۲*}، سعید فرزین^۲، محمد رستمی^۳

۱ دانشجوی دکتری مهندسی آب و سازه‌های هیدرولیکی، دانشکده مهندسی عمران، دانشگاه سمنان.

۲ دانشیار، گروه مهندسی آب و سازه‌های هیدرولیکی، دانشکده مهندسی عمران، دانشگاه سمنان.

۳ استادیار پژوهشکده حفاظت خاک، سازمان تحقیقات، آموزش و ترویج کشاورزی، آبخیزداری، تهران، ایران.

تاریخ دریافت ۱۳۹۸/۰۶/۲۷

ایمیل hkarami@semnan.ac.ir

چکیده

اصلاح مسیر رودخانه به منظور کترول سیلان، جلوگیری از فرسایش بستر، ثبت و حفاظت دیواره‌ها و همچنین تنظیم عرض رودخانه از جمله اهدافی هستند که در استفاده از آبشنکن در نظر گرفته می‌شود. آبشنکن‌های متداول دارای شکل‌های هندسی ساده، L و T هستند. این پژوهش در راستای بهینه کردن ترکیب‌های مختلف آبشنکن‌های سری برای کاهش آبشنستگی انجام شده است. آبشنکن‌های نفوذناپذیر با اشكال هندسی مختلف به صورت سری ۳ تابی در ترکیب‌های متفاوت تحت شرایط $U/U_{cr}=0.95$ مورد بررسی آزمایشگاهی قرار گرفتند. آبشنکن اول در همه ترکیب‌ها T شکل بوده است. نتایج نشان داد برای آبشنکن اول، در 10% زمان تعادل، بیش از 90% آبشنستگی نهایی اتفاق می‌افتد. بهترین حالت از نظر متوسط عمق آبشنستگی در هر سه موقعیت، ترکیب (T L T) است که در حدود $1/4$ برابر عمق جریان فرسایش دارد. همچنین از دیدگاهی دیگر بهترین عملکرد در کل محدوده مورد حفاظت آبشنکن‌ها با توجه به حجم فرسایش مربوط به ترکیب (T II) می‌باشد که دارای حداقل حجم آبشنستگی در حدود 70% بیشترین حجم فرسایش در ترکیب‌های دیگر است، پس در طراحی باید بهترین حالت با در نظر گرفتن اهداف برای بهره‌برداری بهینه استفاده شود.

واژه‌های کلیدی: آبشنکن‌های سری ترکیبی، آبشنکن T شکل، ترکیب بهینه، کاهش آبشنستگی، مطالعه آزمایشگاهی.

روش‌ها، استفاده از سازه‌های آبشنکن است. آبشنکن‌ها انواع مختلفی دارند که در شکل، شرایط هیدرولیکی و آبشنستگی اطراف آن‌ها عملکردی متفاوت دارند، از جمله آبشنکن ساده، L شکل و T شکل یا سرسپری هستند که به صورت سری و یا تک استفاده می‌شوند. از جمله پارامترهای هندسی مهم در این سازه‌ها، طول آبشنکن، نسبت ابعاد باله و جان، زاویه قرارگیری

۱- مقدمه

رودخانه یک پدیده فعال است که همیشه کناره‌ها و بستر آن در حال تغییر است. همین امر سبب شده که مسیر رودخانه در طول زمان دستخوش تغییرات و تحولات اساسی شود. در این راستا، امروزه فن‌های متفاوتی برای حفاظت رودخانه‌ها برای زمان حال و آینده توسعه یافته است که یکی از این

عمق آبستستگی در حالت تعادل دینامیکی ثابت است و عمق آبستستگی بی بعد با زیاد شدن فاصله، افزایش می‌یابد [7]. بررسی تجربی صفرزاده و همکاران روی آشفتگی سه بعدی جریان اطراف آبشکن‌های ساده و T شکل در حالت بستر تخت نشان داد که افزایش طول بال آبشکن T شکل در بالادست، باعث ناپدید شدن گردابه نعل اسی می‌شود که این کار به عنوان یک اقدام متقابل در برابر آبستستگی است [8].

واقفی و رادان در پژوهش خود به بررسی الگوی جریان و آبستستگی بستر متجرک با استفاده از آبشکن سرسپری پرداختند. آن‌ها در نتایج خود بیان داشتند که آبستستگی بیشینه در بالادست آبشکن‌ها و در مجاورت آن‌ها ایجاد می‌شود که این امر سبب کاهش آبستستگی در کل بستر می‌شود. همچنین با افزایش شعاع انحنای قوس بیشینه عمق حفره فرسایش یافته روندی افزایشی دارد [9]. محسنی‌مهر و همکاران اثر موقعیت آبشکن T شکل را بر قدرت جریان ثانویه در قوس ۹۰ درجه را بررسی کردند که نتایج آنان نشان داد کمترین و بیشترین درصد قدرت جریان ثانویه به ترتیب مربوط به موقعیت‌های ۳۰ و ۷۵ درجه است [10]. منصوری و همکاران اثر شکل آبشکن‌های سری در خم رودخانه به منظور کاهش ابعاد و هزینه‌های آبشکن با ایجاد بریدگی در لبه ابتدایی آن را بررسی کردند. نتایج آزمایش‌ها نشان داد که در آزمایش سری آبشکن‌های بدون تغییر شکل دماغه (حالت مبنا) در قوس رودخانه آبستستگی از دماغه آبشکن شروع می‌شود. در حالت کلی در همه بریدگی‌ها با کاهش سطح آبشکن، سرعت جریان در جلوی آبشکن کاهش می‌یابد. این امر باعث کاهش تنش برشی در مقاطع بالادست آبشکن و در نهایت باعث کاهش عمق آبستستگی می‌شود [11]. واقفی و همکاران میدان جریان را اطراف آبشکن ساده مستغرق با استفاده از نرم‌افزار Flow-3D بررسی کردند. نتایج آنان نشان داد که با افزایش مقدار دبی، سرعت طولی بیشترین افزایش را می‌یابد. همچنین در بالادست آبشکن گردابه تشکیل شده ابعاد کوچکتری نسبت به گردابه تشکیل شده در پایین دست دارد [12].

واقفی و همکاران مؤلفه‌های سه بعدی سرعت جریان پیرامون آبشکن T شکل مستقر در قوس ۹۰ درجه با بستر صلب را به صورت آزمایشگاهی را بررسی کردند. نتایج آنان نشان داد که

آبشکن‌ها نسبت به جریان و فاصله آن‌ها از یکدیگر است. اصلی ترین مسئله در ارتباط با کاربرد آبشکن‌ها در رودخانه، بهبود وضعیت آبستستگی موضعی و کلی است. در واقع آبشکن‌ها باید طوری طراحی شوند که کمترین فرسایش را در اطراف خود داشته باشند. با توجه به اهمیت موضوع، امروزه پژوهشگران در تلاش هستند تا مسئله آبستستگی رودخانه‌ها و هیدرولیک پژوهش‌های صورت گرفته در این راستا می‌توان به موارد ذیل اشاره نمود:

اردشیر و همکاران اثر آبشکن محافظ را روی آبستستگی آبشکن اول بررسی کردند. در نتایج مطالعات خود روی آبشکن‌ها برای کاهش عمق آبستستگی آبشکن اول، نسبت مناسب ترین طول برای آبشکن محافظ را ۰/۶۶ تا ۰/۷۷ آبشکن اصلی ارائه کردند [1]. کرمی و صانعی نسبت طول آبشکن فرعی به آبشکن اول را ۰/۵ تا ۰/۵۸ آبشکن اول و مناسب ترین فاصله آبشکن اصلی از فرعی را ۱/۵ تا ۲ برابر طول آبشکن اول توصیه کردند [2]. نوروزی و همکاران در مطالعات آزمایشگاهی خود به این نتیجه رسیدند که با افزایش قطر مصالح بیشترین عمق آبستستگی کاهش عمق آبستستگی آبشکن‌های سری، از یک همکاران برای کاهش عمق آبستستگی آبشکن‌های سری، از یک آبشکن محافظ در بالادست استفاده کردند. نتایج آنان نشان داد در شرایطی که آبشکن محافظ به درستی طراحی شود قادر خواهد بود تا متوسط بیشترین عمق آبستستگی را در آبشکن‌های سری کاهش دهد. همچنین پارامترهای ابعادی را برای طراحی بهینه آبشکن محافظ ارائه کردند [4]. همچنین مهر نهاد و قدسیان، با بررسی آزمایشگاهی آبشکن T شکل دریافتند که نرخ گسترش آبستستگی برای ماسه ریزدانه بیشتر از نرخ مربوط به ماسه درشت‌دانه است و اینکه طول آبشکن نسبت به قطر مصالح بر ابعاد چاله آبستستگی دارای حساسیت بیشتری است [5]. کرمی و همکاران بیشترین عمق آبستستگی با توجه به تغییرات زمانی را در اطراف آبشکن‌های سری بررسی کردند و نتایج آنان نشان داد که ۹۰ تا ۷۰ درصد عمق تعادلی آبستستگی در ۲۰ درصد اولیه کل زمان آبستستگی اتفاق می‌افتد [6].

لی و جانگ اثر فاصله بین آبشکن‌های سری روی آبستستگی بستر و الگو جریان را مورد تحقیق قراردادند و بیان داشتند که

خرابی‌های سازه‌های آبی مؤثرتر است. بنابراین جاهای که سازه‌های آبی باید حفاظت شود آبشکن T شکل پیشنهاد می‌شود و آبشکن ساده باید در موقعی که انحراف و جابه‌جایی جریان اهمیت دارد استفاده شود. علت این امر نیز هزینه بیشتر ساخت آبشکن T شکل بیان شده است [18].

در پژوهش دیگری از واقعی و همکاران، شرایط جریان را در اطراف آبشکن T شکل، با توجه به سازه‌های محافظه، بررسی کردند. نتایج پژوهش ایشان نشان داد که بیشینه تنش برشی بستر برای سازه محافظه در حالت‌های جاذب و دافع به ترتیب $23/5$ درصد و $17/6$ درصد نسبت به حالت عمود افزایش می‌یابد. همچنین، قدرت جریان ثانویه در نزدیکی آبشکن اصلی برای زوایای کمتر از 15 درجه حالت‌های جاذب و دافع نسبت به حالت عمود به ترتیب 24 درصد و $14/5$ درصد افزایش می‌یابد. این مقادیر برای زوایای 20 تا 30 درجه در حدود $14/6$ درصد و $15/5$ درصد کاهش می‌یابد [19].

با توجه به مطالعات انجام شده مشاهده می‌شود که تاکنون مقایسه آبستنگی آبشکن‌های سری با ترکیب‌های مختلف آبشکن با هدف کاهش عمق آبستنگی انجام نشده است تا حداقل بهره‌برداری را از احداث آبشکن‌ها داشت. لذا در این مطالعه با در نظر گرفتن آبشکن T شکل برای موقعیت اول به صورت ثابت و تغییر هندسه آبشکن‌های دوم و سوم در سری 3 تایی آبشکن به صورت ساده، L و T شکل، عمق و حجم U/Ucr=0.95 اندازه‌گیری شده و آبستنگی و رسوب‌گذاری در ترکیب‌های مختلف باهم مقایسه و تحلیل می‌شوند تا بتوان به ترکیبی بهینه دست یافت.

۲- مواد و روش‌ها

برای انجام آزمایش‌ها از یک فلوم به طول 14 متر، عرض $1/5$ متر و ارتفاع $0/70$ سانتی‌متر در پژوهشکده حفاظت خاک و آبخیزداری جهاد کشاورزی در تهران استفاده شد. در قسمت ابتدایی و انتهایی، کanal دارای مخزن است که در مخزن انتهایی یک سرریز مستطیلی تعییه شده است. بستر متحرک با دانه‌بندی $D50=1mm$ و $5g=1.41$ برای انجام آزمایش‌ها مورد استفاده قرار گرفت. آبشکن‌ها با استفاده از پلاکسی گلاس ساخته شده

در موقعیت‌های مختلف نصب آبشکن، در فاصله حدود $0/6$ طول آبشکن و در بالادست، بیشترین مقدار قدرت جریان ثانویه ایجاد می‌شود. همچنین پیش‌بینی کردند محل وقوع آبستنگی بیشینه نزدیک به محل وقوع بیشینه پارامترهای قدرت جریان ثانویه و چرخش است [13]. ایرانشهری و همکاران آبشکن سرسپری را به صورت سری در قوس تن مورد بررسی قراردادند. نتایج آنان نشان داد میزان آبستنگی برای آبشکن اول بیش از آبشکن دوم و سوم است. این مسئله نشان‌دهنده آن است که بستر پیرامون آبشکن اول باید با استفاده از روش‌های حفاظتی، در برابر آبستنگی محافظت شود [14]. نتایج پژوهش‌های آزمایشگاهی صفرزاده نشان داد که به واسطه کم عمق بودن جریان آزمایش بخش عمداتی از ساختارهای آشفته‌گی حالت دو بعدی داشته و شکل‌گیری یک جریان برگشتی از ناحیه پایین دست به داخل میدان آبشکن باعث پیچیدگی ساختار لایه اختلاطی و پروسه تبادل جرم بین ناحیه چرخشی میدان آبشکن و جریان آزاد می‌شود [15]. گیگلو و همکاران تأثیر آبشکن‌ها بر الگوی رسوب‌گذاری را بررسی کردند، نتایج آنان نشان داد که افزایش زاویه آبشکن از 90 درجه به 120 درجه، بر طول و عرض ناحیه رسوب‌گذاری تأثیر می‌گذارد و باعث افزایش آن می‌شود [16]. نیر و همکاران تغییرات زمانی آبستنگی را در اطراف آبشکن‌های سری ساده، L و T شکل بررسی کردند. نتایج ایشان نشان می‌دهد که آبشکن T شکل در 10 درصد اول مدت زمان آبستنگی به بیش از 90 درصد آبستنگی تعادلی می‌رسد. برای آبشکن ساده و L شکل در 15 درصد اول مدت زمان آبستنگی، این مقدار بیش از 80 درصد است. همچنین بیان داشتند که عمق آبستنگی آبشکن T شکل، در مقایسه با سایر آبشکن‌ها، در شرایط یکسان در حدود $0/3$ کمتر است (عمق جریان است). بیشترین عمق آبستنگی برای آبشکن ساده و L شکل کمی عقب‌تر از نوک دماغه است و بیشترین عمق آبستنگی برای آنها بیش از سه برابر عمق جریان است در حالی که این مقدار برای آبشکن T شکل در حدود $2/7$ برابر است [17].

کومار و همکاران آبستنگی اطراف آبشکن‌های ساده و T شکل را بررسی کردند. ایشان در نتایج خود بیان داشتند که آبشکن T شکل در حفاظت از بستر و همچنین کاهش عمق آبستنگی و

سوم است. چگونگی قرارگیری آبشنکن‌ها در فلوم آزمایشگاهی نیز در شکل (۳) نشان داده شده است.

شکل ۲. ترکیب‌های مختلف آبشنکن‌های سری مورد آزمایش.

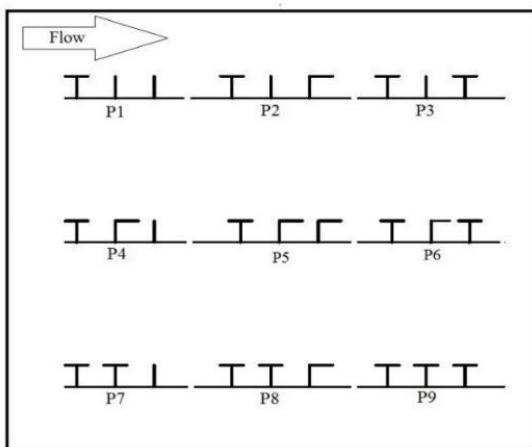


Fig. 2. Different combinations of tested series spur dikes

شکل ۳. آبشنکن‌های متناظر با آزمایش P4 در کanal آزمایشگاهی



Fig. 3. Spur dikes design for test P4 in flume

۳- نتایج و بحث

هدف از انجام آزمایش‌ها، بررسی و مقایسه عمق و حجم آبشتستگی پیرامون آبشنکن‌ها با شکل هندسی مختلف بوده است. عمق آبشتستگی موضعی در آبشنکن‌های سری اندازه‌گیری شد و مورد تحلیل و بررسی قرار گرفت. آزمایش P9 برای دستیابی به زمان و عمق تعادلی و مینا قرار دادن این آزمایش برای سایر آزمایش‌ها در مدت ۳۰ ساعت انجام شد و بیشترین عمق آبشتستگی آن برداشت شد. برای تعیین مدت زمان تعادل

و بعد آن ۳۵ سانتی‌متر برای جان و ۳۵ سانتی‌متر برای باله در نظر گرفته شد. پارامترهای هندسی آبشنکن‌ها در شکل (۱) معروفی شده است؛ که در آن $L_t/L=1$ و $a=3L$ و $L_t=23\%$ است که B عرض کanal است. با توجه به توصیه‌های نشریه ۴۶ (مبانی طراحی سازه‌های کنترل فرسایش در رودخانه‌ها و آبراهه‌ها) آبشنکن‌ها با فاصله ۳ برابر طول آبشنکن در کanal نصب شدنند. برای اندازه‌گیری عمق آبشتستگی از دستگاه بستر سنج دیجیتالی ساخت مؤسسه دلفت هلند با دقت ۱ میلی‌متر استفاده شده است.

شبکه برداشت بستر در راستای طولی و عرضی برای نقاط ثابت با فاصله ۱۰ سانتی‌متری در نظر گرفته شد. همچنین در مواردی که تغییرات بستر شدید بوده و این تغییرات در فاصله ۱۰ سانتی‌متری مشخص نبود از نقاط نزدیک‌تر تا حدود ۱ سانتی‌متری استفاده شد. دبی جریان نیز با استفاده سریز مستطیلی اندازه‌گیری شد.

شکل ۱. پارامترهای هندسی در آبشنکن‌های مدل شده

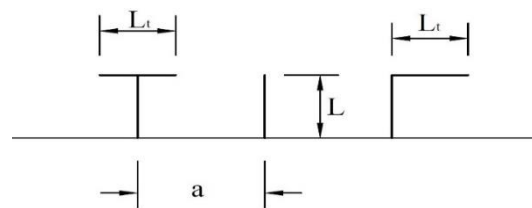


Fig. 1. Geometric parameters in modeled spur dikes

شرطی جریان به صورت آستانه حرکت و به صورت $U/U_{cr}=0.95$ در نظر گرفته شده است و با استفاده از منحنی شیلدز، دبی استفاده با توجه به ابعاد کanal و عمق جریان برابر با ۳۰ لیتر بر ثانیه محاسبه شد. همچنین آبشنکن‌ها نسبت به ابتدای کanal در طولی قرار داده شده‌اند که جریان توسعه یافته باشد و این توسعه با توجه به اندازه‌گیری‌های سرعت بررسی شد. برای انجام آزمایش از ترکیب‌های مختلفی از آبشنکن‌های ساده، L شکل و T شکل به صورت سری ۳ تایی استفاده شده است. آبشنکن اول در همه این ترکیب‌ها، T شکل بوده است. ۹ ترکیب مورد استفاده در آزمایش‌های این پژوهش در شکل (۲) نشان داده شده است. برای نمونه ترکیب P1 شامل آبشنکن T شکل در موقعیت اول و آبشنکن ساده در موقعیت‌های دوم و

با در نظر گرفتن مدت زمان ۵ ساعت برای انجام آزمایش، ترکیب‌های مختلف آزمایش شدند. جدول (۱) عمق و حجم آبشتستگی برداشت شده در آبشکن‌های سری با دبی ۳۰ لیتر بر ثانیه را نشان می‌دهد. پس نتایج را بر اساس حداکثر عمق آبشتستگی، عمق آبشتستگی متوسط و حجم آبشتستگی مورد بررسی قرار می‌دهیم.

۱-۳- بیشترین عمق آبشتستگی آبشکن‌ها

با توجه به اینکه آبشکن اول در همه ترکیب‌ها ثابت بوده است، عمق آبشتستگی آن در زمان‌های مشخص متوسط گیری شد که به صورت بی‌بعد در شکل (۵) آمده است. با توجه به این شکل مشاهده می‌شود متوسط عمق آبشتستگی حدود ۲/۴ برابر عمق جریان است. همچنین مشاهده می‌شود بعد از گذشت ۱۰٪ از زمان تعادل، آبشتستگی به عمق آبشتستگی تعادلی رسیده است. بیشترین عمق آبشتستگی در محل نوک دماغه آبشکن اول است و سایر آبشکن‌ها دارای عمق آبشتستگی کمتری هستند. برای موقعیت آبشکن دوم در حالتی که به شکل T است (آزمایش‌های P7، P8 و P9) متوسط عمق آبشتستگی حدوداً برابر با عمق جریان است که نسبت به سایر آبشکن‌ها در موقعیت دوم کمتر است. علت این امر آن است که به دلیل وجود زبانه آبشکن T شکل در پایین دست آبشکن اول و در بالادست آبشکن دوم، فاصله بین دو آبشکن که ۳L است به کاهش می‌یابد. بنابراین وجود باله آبشکن T در فضای بین آبشکن اول و دوم باعث می‌شود تا جریان چرخشی بسیار آرامی در این ناحیه شکل بگیرد که دارای حداقل قدرت برای ایجاد فرسایش است. سرانجام ذرات معلق این گردابه که ناشی از فرسایش آبشکن اول است در این فضا رسوب کرده و تنهشین می‌شود و پشت‌های از رسوبات را ایجاد می‌کند. در آخر برای آبشکن سوم نیز همچنان آبشکن T (آزمایش‌های P3، P6 و P9) با مقدار متوسط حدوداً نصف عمق جریان، کمترین عمق آبشتستگی را داراست که به دلیل کاهش شدت جریان در محدوده آبشکن سوم، ایجاد جریان چرخشی در بالادست آبشکن T شکل و همچنین کوتاه شدن فاصله بین دو آبشکن متوازی است. بنابراین با توجه به مقدار عمق آبشتستگی مشاهده

آبشتستگی از معیار دی و باربهویا استفاده شد. ایشان زمانی از آزمایش‌ها را که تغییرات بیشترین عمق آبشتستگی کمتر از ۱ میلی‌متر به‌ازای ۲ ساعت آزمایش باشد را به عنوان زمان تعادل آبشتستگی تعریف کردند.

با توجه به برداشت‌های انجام شده بعد از گذشت حدود ۲۲ ساعت آبشتستگی به عمق تعادلی خود رسیده و تغییرات آن کمتر از ۱ میلی‌متر بوده است. همان گونه که در شکل (۴) مشاهده می‌شود با توجه به زمان و عمق آبشتستگی تعادلی، بعد از گذشت ۱۰٪ از زمان آزمایش، آبشتستگی به بیش از ۹۰٪ رسید. پس برای انجام سایر آزمایش‌ها، مدت زمان ۵ ساعت برای انجام آزمایش و مقایسه ترکیب‌های مختلف در نظر گرفته شد.

شکل ۴. درصد نسبی عمق آبشتستگی با توجه به درصد نسبی زمان آبشتستگی

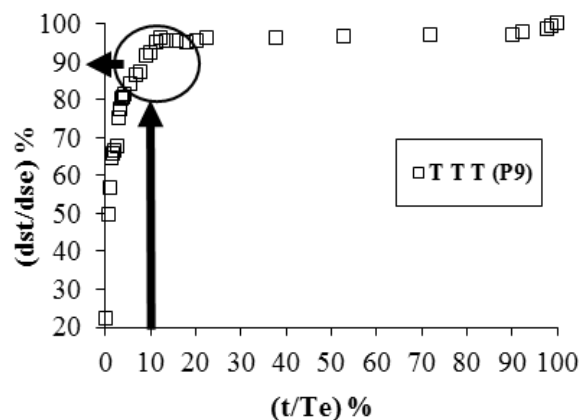


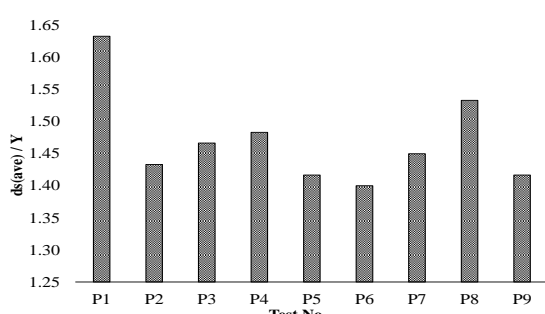
Fig. 4. Dimensionless scour depth (d_{st}/d_{se}) as a function of dimensionless time (t/T)

جدول ۱. مقایسه مقادیر عمق و حجم آبشتستگی در آبشکن‌های سری

Test No.	$ds1/y$	$ds2/y$	$ds3/y$	ds_{ave}/y	V (m ³)
P1	2.47	1.28	1.13	1.63	0.064
P2	2.22	1.23	0.85	1.43	0.078
P3	2.4	1.37	0.63	1.47	0.091
P4	2.4	1.27	0.77	1.48	0.081
P5	2.4	1.35	0.52	1.42	0.087
P6	2.53	1.37	0.28	1.4	0.078
P7	2.33	0.95	1.07	1.45	0.076
P8	2.45	1.17	0.98	1.53	0.071
P9	2.75	0.95	0.53	1.42	0.090

Table. 1. Scour depth and volume comparison in series spur dikes

شکل ۶. متوسط عمق آبشنستگی نسبت به عمق جریان در ترکیب‌های مختلف

**Fig. 6.** Dimensionless average scour depth for different combinations

۳-۳- حجم آبشنستگی و رسوب گذاری
دیدگاهی دیگری برای مقایسه این ترکیب‌ها با یکدیگر وجود دارد. می‌توان این ترکیب‌ها را با توجه به حجم حفره آبشنستگی که ایجاد می‌کنند مقایسه کرد. با توجه به جدول (۱) مشاهده می‌شود که در آن ترکیب‌های P1 و P3 به ترتیب دارای کمترین و بیشترین حجم آبشنستگی هستند، تصویر سه‌بعدی و توپوگرافی بستر در این دو ترکیب در شکل (۷) نشان داده شده است.

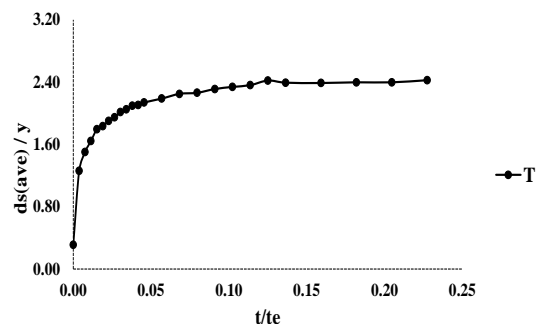
ترکیب P1 کمترین حجم فرسایش را دارد، درحالی که بیشترین عمق آبشنستگی متوسط را دارا است. برای تحلیل این اتفاق، آبشنستگی در مقاطع ثابت طولی و عرضی کanal برای ترکیب P1 با کمترین حجم آبشنستگی و ترکیب P6 با کمترین عمق آبشنستگی متوسط، مقایسه می‌شود. شکل (۸) تغییرات بستر را برای ترکیب‌های P1 و P6 در مقطع طولی و سطح کanal نشان می‌دهد. با توجه به این شکل، تغییرات بستر در تمامی مقاطع برای ترکیب P1 کمتر است، و مشاهده می‌شود که شبیه حفره آبشنستگی در ترکیب P1 بیشتر است. همچنین تغییرات بستر در محدوده آبشنکن اول دارای روند یکسانی است و بنابراین می‌توان نتیجه گرفت اختلاف اساسی در این قسمت نیست.اما با آغاز محدوده آبشنکن دوم ($X=165\text{ cm}$) و بعد از آن روند دو ترکیب کاملاً متفاوت است. آبشنکن دوم ترکیب P6 به شکل L است، بنابراین جریان وقتی به محدوده آبشنکن دوم می‌رسد با طول تنگ‌شدگی بیشتری نسبت به ترکیب P1 که آبشنکن ساده دارد و فقط در محل جان آبشنکن دارای تنگ‌شدگی است، مواجه می‌شود. این طول تنگ‌شدگی بیشتر، باعث می‌شود سرعت جریان بالاتر برود و آبشنستگی بیشتری را در محدوده

می‌شود که آبشنکن T در تمام موقعیت‌ها به صورت مجزا مناسب‌تر از سایر هندسه‌ها عمل می‌کند.

۲-۳- عمق آبشنستگی متوسط در سری آبشنکن‌ها

دومین معیار مقایسه ترکیب‌های مختلف عمق آبشنستگی متوسط در سری آبشنکن‌ها است. با توجه به عمق آبشنستگی متوسط هر ترکیب در شکل (۶)، مشاهده می‌شود که ترکیب P6 کمترین مقدار متوسط و حدوداً برابر با $1/4$ عمق جریان را دارد. بعد از آن نیز با اختلاف بسیار اندک ترکیب‌های P5 و P9 دارای کمترین مقدار متوسط آبشنستگی هستند. با دقت در شکل هندسی آبشنکن‌ها در ترکیب P6 می‌توان به علت پایین بودن متوسط عمق آبشنستگی در این ترکیب پی برد. در این ترکیب که به شکل (T L T) است فاصله بین آبشنکن‌ها به دلیل وجود باله‌ها در فضای بین دو آبشنکن کم است. با توجه به جدول (۱)، عمق آبشنستگی آبشنکن سوم در ترکیب P6، برابر $0.28y$ است که به علت ورود رسوب بالادست در آن است. در واقع بعد از گذشت مدتی، مقدار آبشنستگی در آبشنکن سوم و مقدار رسوب ورودی به حفره، به یک تعادل می‌رسند. نتیجه این تعادل عمق حداقلی برای حفره موجود در آبشنکن سوم است. نکته مهم در مورد آبشنکن T شکل این است که آبشنستگی در محل نوک باله در بالادست اتفاق می‌افتد. علت پایین بودن عمق آبشنستگی متوسط در ترکیب P5 و P9 این است که کمتر شدن عمق آبشنستگی آبشنکن سوم در این ترکیب‌ها به دلیل نزدیک بودن حفره آبشنستگی به باله آبشنکن بالادست و ورود رسوب بالادست به آن می‌باشد، که در پایان باعث شده تا متوسط عمق آبشنستگی در این حالات کاهش یابد.

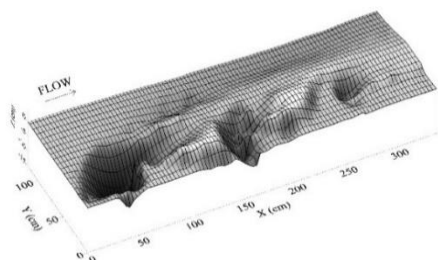
شکل ۵. تغییرات عمق آبشنستگی در آبشنکن T در جایگاه اول آبشنکن‌های سری

**Fig. 5.** Scour depth changes for T-shaped spur dike in first position of series spur dikes

بیشترین ارتفاع بین آبشکن اول و دوم است. علت این مسأله می‌تواند عمق آبشتستگی حداکثری در محل آبشنکن اول و ورود جریان حاوی رسوب بیشتر در محدوده آبشنکن اول و دوم باشد. در واقع جریان در محدوده بین آبشنکن اول و دوم حاوی رسوب بیشتری هست که با توجه به گردابه ایجاد شده در این ناحیه و کاهش قدرت جریان، رسوب‌گذاری حداکثری ایجاد شده است. پس با توجه به در نظر گرفتن تمام شرایط موجود در ارتباط با آبشتستگی و رسوب‌گذاری هر ترکیب و مزایا و معایب هر کدام و همچنین شرایط اقتصادی طرح، مهندس طراح می‌تواند با دقت در شرایط مورد نیاز طراحی، ترکیب بهینه، مناسب را انتخاب کند.

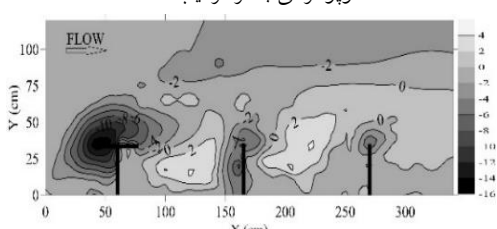
شکل ۷. تصویر سه بعدی بستر در ترکیب‌های P1 و P3

تصویر سه بعدی بستر ترکیب P1



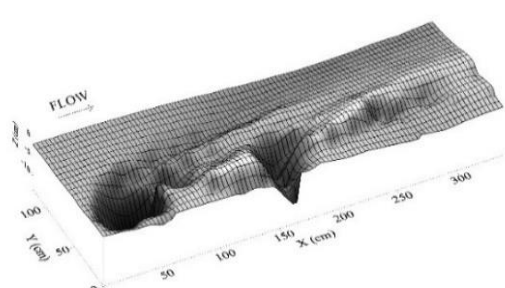
Erosional bed 3D image for P1 combination

توبوگرافی بستر ترکیب P1



Erosional bed topography for P1 combination

تصویر سه بعدی بستر ترکیب P3



Erosional bed 3D image for P3 combination

بعد از آبشکن دوم ایجاد کند. همچنین در آبشکن سوم نیز با توجه به شکل آبشکن‌ها، چگونگی آبشتستگی مانند آبشکن دوم است. بنابراین عدمه اختلاف ایجاد شده در محدوده بین آغاز آبشکن دوم تا پایین دست آبشکن سوم است.

مقطع طولی دیگری برای بررسی در شکل (۹) نشان داده شده است. این مقطع یک مقطع طولی در محل نوک آبشکن‌های سری است. اما در محل آبشکن دوم هندسه‌های ساده و L شکل به دلیل عدم وجود باله در بالادست دارای حفره مشابه هستند، که این حفره در مقایسه با آبشکن T شکل از نظر عمق بزرگتر و از نظر ابعاد حفره آبشتستگی کوچکتر است. در واقع آبشکن T شکل به دلیل حضور باله در بالادست خود ابعاد حفره آبشتستگی بزرگتری را ایجاد کرده است. در محل آبشکن سوم، ترکیب P1 بیشترین عمق را دارد. این درحالی است که ترکیب-های P6 و P9 عمق کمتری دارند. اما با توجه به آبشکن‌های این ترکیب‌ها مشاهده می‌شود که حضور آبشکن L شکل در مقطع میانی باعث کاهش عمق آبشکن سوم و همچنین انتقال حفره به پایین دست شده است.

بنابراین برای بررسی بیشتر و تفسیر بهتر این اختلاف‌ها در شرایط آبشتستگی، مقطع عرضی در شکل (۱۰) مقایسه شد. این شکل یک مقطع بین آبشکن دوم و سوم است. در این شکل نیز، مقدار فرسایش در ترکیب P6 بیشتر است و رسوب‌گذاری آن کمتر است که علت آن همان باله آبشکن‌ها است. ترکیب P1 نیز با وجود اینکه عمق آبشتستگی بیشتری دارد اما محدوده فرسایش آن کوچکتر است. تفاوت بین فرسایش و رسوب‌گذاری این دو ترکیب باعث می‌شود تا حجم حداقلی آبشتستگی برای ترکیب P1 نتیجه شود.

همچنین در خصوص بیشترین حجم رسوب‌گذاری نیز ترکیب-های مختلف با یکدیگر مقایسه شدند. بیشترین حجم رسوب-گذاری برای ترکیب‌های P8، P1، P8 و P7 بوده است که حجم آن به ترتیب برابر با 0.0127 m^3 ، 0.0146 m^3 و 0.0107 m^3 است. اما در ارتباط با بیشترین ارتفاع رسوب گذاری این ترتیب متفاوت است، به شکلی که ترکیب P1 با $0.72y$ بیشترین ارتفاع را دارد. محل این ارتفاع بین آبشکن اول (T شکل) و دوم (I شکل) است. ترکیب‌های P8 و P7 با $0.66y$ و $0.61y$ بعد از ترکیب P1 بیشترین ارتفاع رسوب‌گذاری را دارند که برای این دو نیز

۴- نتایج

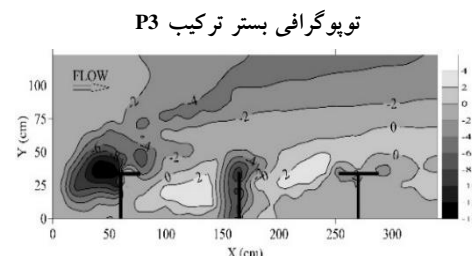
در این پژوهش آبشتستگی اطراف ترکیب‌های مختلفی از آبشکن‌های سری در حالتی که آبشکن اول ثابت و به صورت T شکل بود انجام گرفت. با توجه به هندسه‌های مورد مطالعه (ساده، L شکل و T شکل) تمام حالات ترکیب‌های ممکن پیش‌بینی شد و با دبی ثابت و در حالت $U/U_{cr}=0.95$ آزمایش شدند. برای مقایسه ترکیب‌ها در یکزمان یکسان، آزمایش شاهد انجام شد و مدت ۱۰٪ زمان تعادل برای داشتن بیش از ۹۰٪ آبشتستگی در نظر گرفته شد. آبشتستگی در تمام محلوده آزمایش برداشت شد. نتایج زیر از آزمایش‌ها بدست آمد:

- عمق آبشتستگی آبشکن T در جایگاه اول به طور متوسط برابر با $\frac{2}{4}$ برابر عمق جریان ($\frac{2}{4}y$) است.

- بهترین عملکرد به صورت متوسط در جایگاه دوم و سوم نیز مربوط به آبشکن T شکل است، که عمق آبشتستگی برای آبشکن دوم برابر با y و برای آبشکن سوم برابر با $\frac{5}{4}y$ است.
- ترکیب P6 (T L T)، کمترین عمق آبشتستگی متوسط را با توجه به موقعیت همه آبشکن‌ها دارد؛ که به صورت متوسط در حدود $\frac{1}{4}$ عمق جریان فرسایش داشته است.

- ترکیب P1 (T I I) با وجود اینکه بیشترین متوسط عمق آبشتستگی را دارد اما حجم آبشتستگی آن از سایر ترکیب‌ها کمتر بوده است. حجم آبشتستگی این ترکیب ۷۰٪ حالت بیشینه است.
- ترکیب P6 از نظر حجم آبشتستگی عملکردی متوسط و ترکیب P9 نامساعدترین حجم آبشتستگی را از خود نشان می‌دهند.

- آبشکن T شکل عمق آبشتستگی کمی دارد اما حفره آبشتستگی ایجاد شده توسط این آبشکن نسبتاً بزرگ است که همین علت باعث شده تا حجم فرسایش مربوط به این آبشکن بالا باشد. پس با توجه به موارد گفته شده به نظر می‌رسد عامل اصلی در انتخاب نوع ترکیب، هدف خاص و مشخص طراح است. سری آبشکن‌های p1 (T II), P6 (T L T) و (T T T) (T L T) جز بهترین‌های این ترکیب‌ها هستند که هر کدام ویژگی‌های خاص خود را دارند که بنا به نیاز و با توجه به محدودیت‌های طراحی و در نظر گرفتن شرایط بهره‌برداری بهینه می‌توانند انتخاب شوند.



Erosional bed topography for P3 combination
Fig. 7. Erosional bed 3D and topography image for P1 and P3 combinations

شکل ۸. مقطع طولی وسط کanal برای آزمایش‌های P1 و P6.

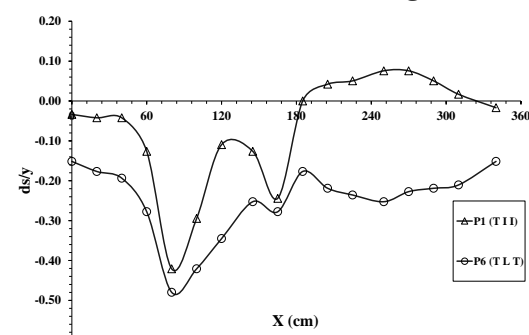
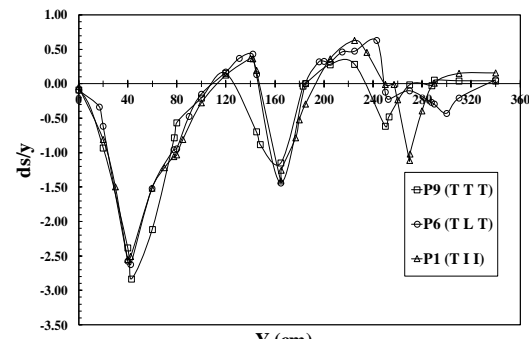


Fig. 8. Central Longitudinal section for P1 and P6 tests

شکل ۹. مقطع طولی نوک دماغه آبشکن‌ها برای آزمایش‌های P1 و P6



شکل ۱۰. مقطع عرضی بین آبشکن دوم و سوم برای آزمایش‌های P6 و P1

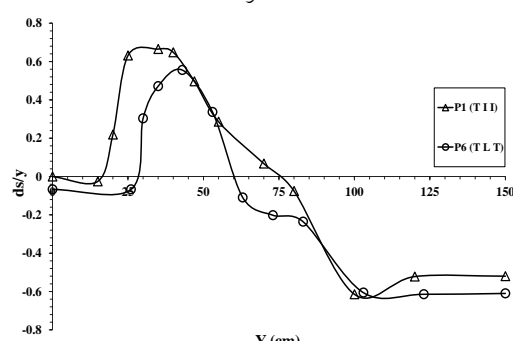


Fig. 10. Cross section between second and third spur dikes for P1 and P6 tests

۵- منابع**References**

- [11] Vaghefi, M., Radan, P. 2014. Numerical study of scouring and flow patterns in a 90° with a T shaped spur dike and with a change in arc curvature radius. Water Resources Engineering. 7(23):37-51.
- [12] Mohsenimehr, V., Vaghefi, A., Hashemi, SH. 2015. Numerical Study of Position of T-Shaped Spur Dike on the Secondary Flow Strength Using SSIIM Software. Journal of irrigation science and engineering. 38(4): 165-175. (In Farsi)
- [13] Mansuri, B., Hosseinzadeh Dalir, A., Farsadizadeh, D. 2015. Experimental Study of Shape of Spur Dikes in Series to Control Scour in River Bends. Water and soil science. 26(1-1):69-81. (In Farsi)
- [14] Vaghefi, M., Eghbalzadeh, A., Rostamnezhad, M. 2016. Numerical study of the effect of discharge on flow pattern around a submerged spur dike in an open channel. Water Resources Engineering. 9(28):67-80.
- [15] Vaghefi M, Ghodsian M, Akbari M. 2016. The Effect of Secondary Flow Strength on Bed Shear Stress around T-Shaped Spur Dike Locating in Various Positions of a 90 Degree. JWSS. 20 (75):45-57.
- [16] Vaghefi, M., Faraji, B., Akbari, M. and Eghbalzadeh, A. 2018. Numerical investigation of flow pattern around a T-shaped spur dike in the vicinity of attractive and repelling protective structures. Journal of the Brazilian Society of Mechanical Sciences and Engineering. 40.2: 93-108.
- [17] Iranshahi, M., Ghodsian, M., Vaghefi, M. 2016. Flow Field and Scouring around Series of Triple Spur Dikes in Sharp Bend. Modares Civil Engineering Journal, 16(3):1-12. (In Farsi)
- [18] Safarzadeh, Z. and Safarzadeh, A. 2016. Experimental Study of Turbulent Flow Structures in Two Groyne Field using PIV Method. Modares Civil Engineering Journal (M.C.E.J), 16(1): 69-80. (In Farsi)
- [19] Giglou, A. N., Mccorquodale, J. A., & Solari, L. 2017. Numerical study on the effect of the spur dikes on sedimentation pattern. Ain Shams Engineering Journal.
- [20] Nayyer, Sh., Farzin, S., Karami, H., Rostami, M. 2017. Experimental study of the effect of spur dike's different shapes on time variation of scour depth around them. Irrigation and Drainage Structures Engineering Research. (DOI): 10.22092/IDSER.2017.114741.1238. (In Farsi)
- [1] Ardeshir, A. H. Karami and M. saneie. 2005. Experimental study on the effect of secondary groyne on local scouring around first groyne. 7th international civil engineering conference, Tarbiat Modares University, Tehran, Iran.
- [2] Dey, S., Barbhuiya, A.K. (2005). "Time variation of scour at Abutments", J.Hydraulic Engineering, ASCE, 131(1): 11-23.
- [3] Karami H. saneie, M. 2005. Experimental Investigation on the Effect of Secondary Length Groyne on scouring Groynes. M.Sc. Thesis, Amir Kabir University, Iran.
- [4] Norouzi, H., Salehi Neishabori, S.A., Nasiri Saleh, F. and Azarderakhsh, M. 2009. Three-Dimensional Numerical Simulation of Scour around a Spur Dike. Modares Technical and Engineering Journal. 36: 13-22. (In Farsi)
- [5] Karami, H., Ardeshir, A., Behzadian, K., and Ghodsian, M. 2011. Protective spur dike for scour mitigation of existing spur dikes. Journal of Hydraulic Research, 49(6): 809-813.
- [6] Mehrnahad, A. and Ghodsian, M. 2012. Experimental Investigation on the Effect of Length of Spur Dike and Grain Size on Scour around T- shaped Spur dike in a 90 degree Bend. Journal of Iran-Water Resources Research. 8(2): 71-79. (In Farsi)
- [7] Karami, H., Basser, H., Ardeshir, A., and Hosseini, S. H. 2014. Verification of numerical study of scour around spur dikes using experimental data. Water and Environment Journal, 28(1): 124-134.
- [8] Kumar, T., Tyagi, D., Aggarwal, L. and Kumar, M. 2018. Comparison of scour around different shapes of groynes in open channel. International Journal of Recent Trends in Engineering & Research (IJRTER). 4. 3: 382-392.
- [9] Lee, K. S., and Jang, C. L. 2016. Numerical investigation of space effects of serial spur dikes on flow and bed changes by using Nays2D. Journal of Korea Water Resources Association, 49(3): 241-252.
- [10] Safarzadeh, A., Salehi Neyshabouri, S. A. A., & Zarrati, A. R. 2016. Experimental Investigation on 3D Turbulent Flow around Straight and T-Shaped Groynes in a Flat Bed Channel. Journal of Hydraulic Engineering, 142(8): 04016021.

Experimental Investigation of Scouring around Different Combinations of Impermeable Series Spur dikes

Shahab Nayyer¹, Hojat Karami^{2*}, Saeed Farzin², Mohammad Rostami³

1 Ph.D Student of Water Engineering and Hydraulic Structures, Faculty of Civil Engineering, Semnan University, Semnan.

2 Associate Professor, Department of Water Engineering and Hydraulic Structures, Faculty of Civil Engineering, Semnan University, Semnan.

3 Assistant Professor of Soil Conservation and Watershed Management Research Institute, Tehran.

* Hkarami@semnan.ac.ir

Abstract

Improvement of the river route is one of the goals that considered in using a spur dike to control the flood, prevent bed erosion, stabilize and protect the walls, and set river width. Spur dikes are structures that with adjustment hydraulic conditions and make smooth flow cause to reduce flow erosion power and the ability to carry sediments. And also makes good situations for sedimentation and sides consolidation. Spur dikes are permeable and impermeable. Impermeable spur dikes have different shapes which according to erosion amount and condition can be used. Common spur dikes have simple, L and T-shaped geometric shapes. This research has been conducted to optimize the various combinations of spur dikes to reduce scouring. All of the scour and flow measurements were collected in a flume with 14 m long, 1.5 m wide, and 0.6 m deep located at the Soil Conservation and Watershed Management Research Institute. Impermeable spur dike with different geometric shapes were tested in a series with 3 spur dikes for different compositions in $U/U_{cr}=0.95$ conditions. Due to threshold flow condition by using Shields parameters in all tests, the calculated discharge at the mentioned conditions is 30 Lit/s. For determine the equilibrium scour depth for each geometric, control test with 30 hours have been done. The first spur dike in all combinations was T-shaped. The results show that for first spur dike in combinations, in 10% of scouring equilibrium time, about 90% of scouring occurred. So with these results, 300 min (5 hours) test time was selected for do all main tests to achieve more than 85% of scouring. Also, in the results of different tests it was observed that maximum scour depth happens around first spur dike. So geometry of first spur dike is very important in reduce average scour depth in combinations. Mean scour depth in these combinations for first, second and third position respectively are about 2.44y, 1.21y and 0.75y which in that for second and third positions with 50% and 69% have fewer scour depth in comparison with first position. Combination (T L T) is the best composition for the lowest average scour depth in all three positions, which 2 times the flow depth have erosion. The best performance in the whole range of spur dikes due to the amount of erosion volume is for the composition (T I I), that's about 70% of the massive erosion in other compositions. Mean scour depth in all positions for these 2 series are 1.39y and 1.63y. Average scour depth in (T T T) series is 1.41y which more than (T L T) combination. The reason for this results can be effect of middle L-shaped spur dike on T-shaped spur dike scour depth in third position. This effect cause to reduce scouring in about 28%. (T I I), (T L T) and (T T T) series spur dikes are the best combinations which each one has special performance, therefore, for design, the best composition should be choice for target of exploitation and optimal economic conditions.

Keywords: Combination series spur dikes, T-shaped spur dike, optimal composition, Reduce scouring, experimental investigation.